

ЕНЕРГЕТИЧНИЙ СПЕКТР ТА ОПТИЧНІ ВЛАСТИВОСТІ КОРОТКОПЕРІОДНИХ НАДГРАТОК GaAs/AlAs

С. Мельничук, В. Студенець, І. Юрійчук

Чернівецький державний університет, Україна, UA-274012, Чернівці, вул. Коцюбинського, 2
(Отримано 25 серпня 1996)

У моделі sp^3s^* розраховано енергетичний спектр та частотну залежність діелектричної проникності $\epsilon_2(\omega)$ напівпровідників GaAs та AlAs. У цій же моделі визначено енергетичний спектр надграток GaAs/AlAs з однаковою кількістю шарів GaAs і AlAs. Проаналізовано внесок вихідних матеріалів у формування спектра надграток та його зміну залежно від кількості шарів у надгратці. Ширина забороненої зони таких надграток порівнюється з експериментальними даними та даними розрахунку інших авторів. Досліджено також особливості $\epsilon_2(\omega)$ для надграток з різною кількістю шарів.

Ключові слова: напівпровідники, надгратки, енергетичний спектр, оптичні властивості.

PACS number(s): 73.20.Dx, 78.20.-e, 78.66.Fd

ВСТУП

Розвиток епітаксіальних технологій дає змогу отримувати різні напівпровідникові надгратки (НГ) з багатообіцяючими фізичними властивостями [1]. Особливо популярними стали НГ GaAs/AlAs, сталі гратки складових матеріалів яких відрізняються слабко ($\sim 0.2\%$). Це дає змогу вирощувати досконалі структури з різними товщинами шарів. Оскільки GaAs є прямозонним напівпровідником, а AlAs — не-прямозонним, то зміна товщини шарів дає змогу вирощувати НГ I і II типів, електрони і дірки яких локалізовані відповідно в одному і тому ж або в різних шарах [2]. Це зумовлює, відповідно, можливість зміни фізичних характеристик і використання НГ в різних оптоелектронних приладах. Підбір товщини шарів дає змогу, зокрема, вибрati базисну робочу частоту лазера [3]. Оптичні властивості НГ визначаються електронним енергетичним спектром, для розрахунку якого використовують багато різноманітних методів [3–6].

Енергетичну зонну структуру вихідних матеріалів та надграток $(\text{GaAs})_n / (\text{AlAs})_m$ ми визначили методом сильного зв'язку, який дає змогу врахувати особливості хемічного складу матеріалу, є достатньо універсальним і простим у практичному використанні. Визначено, яку роль відіграє матеріал ями (GaAs) і бар'єра (AlAs) у формуванні нижніх зон провідності. Обчислено залежність ширини забороненої зони від кількості шарів, результати порівняно

з експериментальними даними та даними інших авторів. Розраховано частотні залежності оптичних характеристик об'ємних напівпровідників та вирощених на їхній основі надграток.

I. ОБ'ЄМНИЙ МАТЕРІЯЛ

Для розрахунку енергетичного спектра об'ємних напівпровідників, що мають структури цинкової обманки, широко використовують модель сильного зв'язку, яка детально описана в [7]. Ця модель використовує sp^3 ортонормований базис і враховує взаємодію найближчих сусідів. Вона дає змогу досить добре описати дисперсію валентних зон, що не можна сказати про зони провідності. Було зроблено низку спроб поліпшити модель. Найбільш вдалою виявилася модель, запропонована в праці [8] (модель sp^3s^*). До набору s і p функцій додаються ще катіонні та аніонні орбіталі s^* , які враховують збуджені стани атомів. Уважають, що в збудженному стані атом може взаємодіяти тільки з найближчими сусідами, що перебувають у p станах. У результаті модель sp^3s^* має 13 параметрів, значення яких для низки напівпровідників наведено в [8].

Розв'язок стаціонарного рівняння Шредінгера в цій моделі зводиться до діагоналізації секулялярної матриці, яка без урахування спін-орбітальної взаємодії має вигляд

	sa	sc	$p_x a$	$p_y a$	$p_z a$	$p_x c$	$p_y c$	$p_z c$	$s^* a$	$s^* c$
sa	E_{sa}	$E_{ss}g_0$	0	0	0	$E_{sapc}g_1$	$E_{sapc}g_2$	$E_{sapc}g_3$	0	0
sc	$E_{ss}g_0^*$	E_{sc}	$-E_{pas}g_1^*$	$-E_{pas}g_2^*$	$-E_{pas}g_3^*$	0	0	0	0	0
$p_x a$	0	$-E_{pas}g_1$	E_{pa}	0	0	$E_{xx}g_0$	$E_{xy}g_3$	$E_{xy}g_3$	0	$-E_{pas}g_1$
$p_y a$	0	$-E_{pas}g_2$	0	E_{pa}	0	$E_{xy}g_3$	$E_{xx}g_0$	$E_{xy}g_1$	0	$-E_{pas}g_2$
$p_z a$	0	$-E_{pas}g_3$	0	0	E_{pa}	$E_{xy}g_2$	$E_{xy}g_1$	$E_{xx}g_0$	0	$-E_{pas}g_3$
$p_x c$	$E_{sapc}g_1^*$	0	$E_{xx}g_0^*$	$E_{xy}g_3^*$	$E_{xy}g_2^*$	E_{pc}	0	0	$E_{s^*apc}g_1^*$	0
$p_y c$	$E_{sapc}g_2^*$	0	$E_{xy}g_3^*$	$E_{xx}g_0^*$	$E_{xy}g_1^*$	0	E_{ps}	0	$E_{s^*apc}g_2^*$	0
$p_z c$	$E_{sapc}g_3^*$	0	$E_{xy}g_2^*$	$E_{xy}g_1^*$	$E_{xx}g_0^*$	0	0	E_{ps}	$E_{s^*apc}g_3^*$	0
$s^* a$	0	0	0	0	0	$E_{s^*apc}g_1$	$E_{s^*apc}g_2$	$E_{s^*apc}g_3$	E_{s^*a}	0
$s^* c$	0	0	$-E_{pas}g_1^*$	$-E_{pas}g_2^*$	$-E_{pas}g_3^*$	0	0	0	0	E_{s^*c}

(1.1)

де

$$\begin{aligned}
 g_0(\mathbf{k}) &= \cos(k_x a/4) \cos(k_y a/4) \cos(k_z a/4) - i \sin(k_x a/4) \sin(k_y a/4) \sin(k_z a/4), \\
 g_1(\mathbf{k}) &= -\cos(k_x a/4) \sin(k_y a/4) \sin(k_z a/4) + i \sin(k_x a/4) \cos(k_y a/4) \cos(k_z a/4), \\
 g_2(\mathbf{k}) &= -\sin(k_x a/4) \cos(k_y a/4) \sin(k_z a/4) + i \cos(k_x a/4) \sin(k_y a/4) \cos(k_z a/4), \\
 g_3(\mathbf{k}) &= -\sin(k_x a/4) \sin(k_y a/4) \cos(k_z a/4) + i \cos(k_x a/4) \cos(k_y a/4) \sin(k_z a/4).
 \end{aligned} \tag{1.2}$$

Діягоналізацію (1.1) виконували числовим методом. Числові параметри для GaAs і AlAs [8] наведені в таблиці:

	E_{sa}	E_{sc}	E_{s^*a}	E_{s^*c}	E_{pa}	E_{pc}	E_{ss}	E_{sapc}	E_{pas}	E_{s^*apc}	E_{pas}^*	E_{xx}	E_{xy}
GaAs	-8.3431	-2.6569	8.5914	6.7386	1.0414	3.6686	-6.4513	4.4800	5.7839	4.8422	4.8077	1.9546	5.0779
AlAs	-7.5273	-1.1627	7.4833	6.7267	0.9833	3.5867	-6.6642	5.1106	5.4965	4.5216	4.9950	1.8780	4.2919

На рис. 1 зображено дисперсійні криві для високо-симетричних напрямків зони Бріллюена.

Результати розрахунку дость добре узгоджуються з результатами Челіховського і Коена [9], що виконані методом нелокального емпіричного псевдопотенціалу. Ширина забороненої зони для GaAs і AlAs становить 1.55 і 2.3 еВ, що близько до експериментальних значень 1.53 і 2.2 еВ відповідно [11].

Оточчні характеристики напівпровідниківих матеріалів (коєфіцієнти поглинання, заломлення, від-

бивання та ін.) однозначно пов'язані з комплексною діелектричною проникністю $\epsilon(\omega) = \epsilon_1(\omega) + i\epsilon_2(\omega)$ [12], яка визначається енергетичною зонною структурою матеріалу. Уявну частину діелектричної проникності обчислювали в наближенні переходів зона–зона за співвідношенням

$$\epsilon_2(\omega) = \frac{4\pi^2 e^2}{m^2 \omega^2} \sum_{\nu,c} \int_{Bz} \frac{2d\mathbf{k}}{(2\pi)^3} |\mathbf{e}M_{c\nu}(\mathbf{k})|^2$$

$$\times \delta(E_c(\mathbf{k}) - E_\nu(\mathbf{k}) - \hbar\omega), \quad (1.3)$$

де $eM_{c\nu}(\mathbf{k}) = \langle \Psi_{c\mathbf{k}} | e\mathbf{p} | \Psi_{\nu\mathbf{k}} \rangle = e \int \Psi_c^*(\mathbf{k}, \mathbf{r})(-i\hbar\nabla) \times \Psi_\nu(\mathbf{k}, \mathbf{r}) d\mathbf{r}$ — матричний елемент дипольного переходу, який вважається в подальших розрахунках сталою величиною. Дійсну частину $\varepsilon_1(\omega)$ можна виразити через $\varepsilon_2(\omega)$, використовуючи співвідношення Крамерса–Кронінга. На рис. 2 показано частотні залежності $\varepsilon_2(\omega)$ для GaAs і AlAs.

На частотній залежності $\varepsilon_2(\omega)$ GaAs (рис. 2, а) є три піки в області 3.3, 4.8 і 10.2 еВ, найбільший з яких — другий. Перший максимум, очевидно, зумовлений тим, що в напрямку Λ зони Бріллюена найнижча зона провідності і найвища валентна зона майже паралельні. Другий максимум пов'язаний з переходом між паралельними зонами вздовж осі Δ . На рис. 2, б показано $\varepsilon_2(\omega)$ для AlAs. Аналогічно до GaAs, тут також є три піки з енергіями 4.1, 4.6 і 8.7 еВ. Оскільки відстань між найнижчою зоною провідності та найвищою валентною зоною в AlAs у напрямку Λ більша ніж у GaAs, то перший пік зміщений в область більших енергій і слабко виділений на фоні другого. На рис. 2, а пунктирною лінією показано експериментальні значення $\vare�(\omega)$ для GaAs [11]. Як видно, експериментальні й теоретичні значення $\vare�(\omega)$ близькі в області другого піка і відрізняються в області першого. Це, очевидно, пов'язане з тим фактом, що під час розрахунків не взяті до уваги екситонні ефекти, які повинні бути суттєвими для GaAs саме в цій області енергії. Розрахунки виконано в наближенні, коли не враховують спін-орбітальну взаємодію і нехтують \mathbf{k} -залежністю матричного елемента $M_{c\nu}(\mathbf{k})$. Тому не слід чекати кількісного збігу експериментальних і розрахункових кривих.

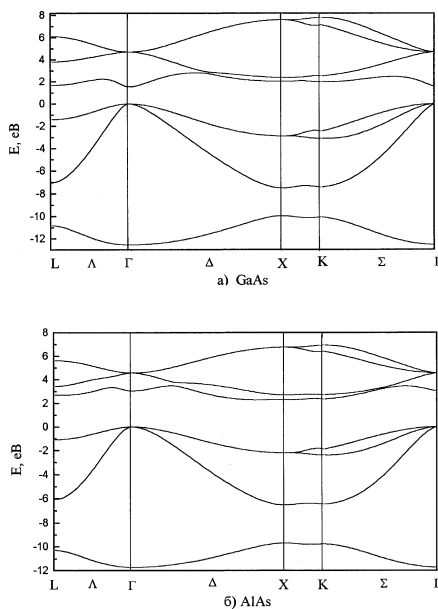


Рис. 1. Енергетичний спектр об'ємних напівпровідників: а — GaAs; б — AlAs.

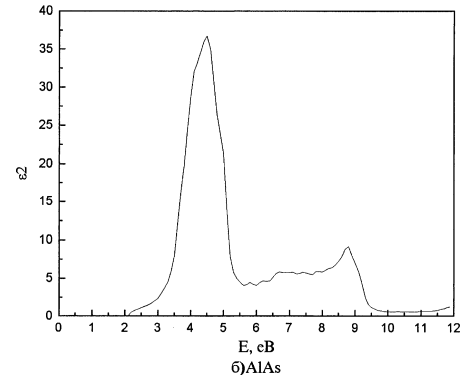
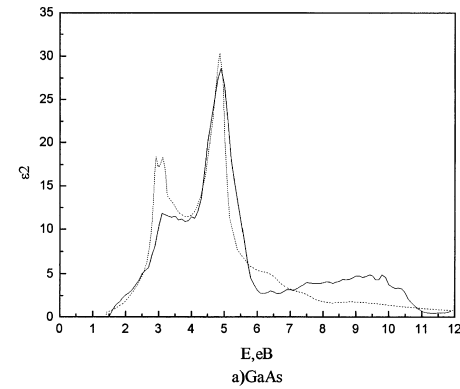


Рис. 2. Діелектрична проникність $\vare�(\omega)$ об'ємних напівпровідників: а — GaAs; б — AlAs.

ІІ. ГЕОМЕТРИЧНА СТРУКТУРА І ЕЛЕКТРОННИЙ СПЕКТР НАДГРАТОК

Фізичні властивості надграток $(\text{GaAs})_n/(\text{AlAs})_m$ значно залежать від напрямку росту і кількості атомних шарів у періоді надгратки. Будемо розглядати надгратки як сукупність атомних площин, що перпендикулярні до напрямку росту [001] надгратки і періодично повторюються у просторі. У цьому випадку кожна площа містить атоми тільки одного типу (катіони або аніони), причому площини різного типу чергуються між собою. Катіонні та аніонні площини є простими квадратними двовимірними гратками. Відстань між площинами дорівнює $a/4$ (a — стала гратки в структурі цинкової обманки). Пара таких площин називається моношаром. Далі розглянемо $\text{H}\Gamma$ з однаковою кількістю моношарів ($n = m$).

Якщо сумістити вісь OZ з напрямком росту надгратки, а осі OX і OY напрямити вздовж векторів елементарних трансляцій двовимірної квадратної гратки, то для випадку парних $n + m = N_{12}$ новоутворена структура є простою тетрагональною граткою з базисними векторами

$$\begin{aligned} \mathbf{a}_1 &= (\sqrt{2}, 0, 0)a/2; & \mathbf{a}_2 &= (0, \sqrt{2}, 0)a/2; \\ \mathbf{a}_3 &= (0, 0, n + m)a/2. \end{aligned} \quad (2.1)$$

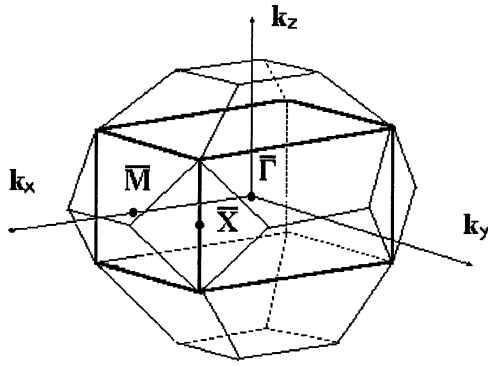


Рис. 3. Зони Бріллюена для структури цинкової обманки (додекаедр) та надгратки $(\text{GaAs})_n/(\text{AlAs})_n$.

Зони Бріллюена для структур із симетрією цинкової обманки T_d^2 і досліджуваної надгратки D_{2d}^5 зображені на рис. 3.

У вибраній системі координат рівноважне положення атома надгратки задається вектором

$$\mathbf{r}(l_z p l b) = \mathbf{r}(p l b) + \mathbf{r}(l_z p),$$

(2.2)

$$\mathbf{r}(p l b) = l_1 \mathbf{a}_1 + l_2 \mathbf{a}_2 + \boldsymbol{\tau}_{II}^{pb}, \quad \mathbf{r}(l_z p) = \boldsymbol{\tau}_{\perp}^p + l_z \mathbf{a}_3.$$

Вектор $\mathbf{r}(l_z p)$ паралельний, а вектор $\mathbf{r}(p l b)$ перпендикулярний до осі OZ; l_z — нумерує періоди надгратки; p — атомні площини в межах періоду ($1 < p < 2(n+m)$); $\mathbf{a}_1, \mathbf{a}_2, \mathbf{a}_3$ — вектори елементарних трансляцій (1); l_1, l_2 — цілі числа; b — задає тип атома ($b = c$ — катіон, $b = a$ — аніон); $\boldsymbol{\tau}_{II}^{pb}$ — описує відносний зсув атомних площин у площині OXY; вектор $\boldsymbol{\tau}_{\perp}^p$ задає положення атомів площини всередині періоду надгратки.

Секулярне рівняння в моделі sp^3s^* запишемо в базисі атомних орбіталей $|\alpha b \mathbf{r}\rangle$. Позиція атома визначається радіус-вектором \mathbf{r} ; α — фіксує тип орбіталі ($\alpha = s, p_x, p_y, p_z, s^*$), b — тип атома. Без урахування спін-орбітальної взаємодії матриця гамільтоніана $H(bI, b'J)$ ($1 \leq I, J \leq n+m$) має структуру

$$\begin{vmatrix} H(a1, a1) & H(a1, c1) & 0 & 0 & \dots & 0 & \dots \\ H(c1, a1) & H(c1, c1) & H(c1, a2) & 0 & \dots & 0 & 0 \\ 0 & H(a2, c1) & H(a2, a2) & H(a1, c2) & \dots & 0 & 0 \\ 0 & 0 & . & . & \dots & 0 & 0 \\ . & . & . & . & \dots & . & . \\ . & . & . & . & \dots & . & . \\ H(cN_{12}, a1) & 0 & 0 & 0 & \dots & H(cN_{12}, aN_{12}-1) & H(cN_{12}, cN_{12}) \end{vmatrix} \quad (2.3)$$

Якщо враховувати тільки найближчих сусідів, то ненульовими будуть лише блоки з $I = J, J \pm 1$. Циклічні крайові умови зумовлюють появу ненульових блоків $H(cN_{12}, a1)$ і $H(aN_{12}, c1)$. Розмірність матриці $10N_{12}$. При $b = b'$ і блоки мають діагональну форму:

$$H(bI, bJ) = E_{\alpha b} \delta_{IJ}. \quad (2.4)$$

При $b \neq b'$ і $I = J$ враховується взаємодія вибраного атома з атомами цього ж шару

$$H(bI, b'I) = \begin{vmatrix} E_{ss}g_+ & 0 & 0 & \sqrt{2}E_{sxca}g_- & E_{sxca}g_+ \\ 0 & 0 & 0 & \sqrt{2}E_{s*xca}g_- & E_{s*xca}g_+ \\ 0 & 0 & \tilde{E}_{xx}g_+ & 0 & 0 \\ -\sqrt{2}E_{sxca}g_- & -\sqrt{2}E_{s*xca}g_- & 0 & \tilde{E}_{yy}g_+ & \sqrt{2}E_{xy}g_- \\ -E_{sxca}g_+ & -E_{s*xca}g_+ & 0 & \sqrt{2}E_{xy}g_- & \tilde{E}_{zz}g_+ \end{vmatrix}. \quad (2.5)$$

При $b = b'$ та $I \neq J$ враховується взаємодія з атомами сусіднього шару

$$H(bI, b'L) = \begin{vmatrix} E_{ss}\bar{g}_+ & 0 & \sqrt{2}E_{sxca}\bar{g}_- & 0 & -E_{sxca}\bar{g}_+ \\ 0 & 0 & \sqrt{2}E_{s^*xca}\bar{g}_- & 0 & -E_{s^*xca}\bar{g}_+ \\ -\sqrt{2}E_{sxca}\bar{g}_- & -\sqrt{2}E_{s^*xca}\bar{g}_- & \bar{E}_{xx}\bar{g}_+ & 0 & -\sqrt{2}E_{xy}\bar{g}_- \\ 0 & 0 & 0 & \bar{E}_{yy}\bar{g}_+ & 0 \\ E_{sxca}\bar{g}_+ & E_{s^*xca}\bar{g}_+ & -\sqrt{2}E_{xy}\bar{g}_- & 0 & \bar{E}_{zz}\bar{g}_+ \end{vmatrix}. \quad (2.6)$$

Тут

$$g_+ = 2 \cos \left(\frac{\pi}{2} \sqrt{2} k_y \right), \quad g_- = 2i \sin \left(\frac{\pi}{2} \sqrt{2} k_y \right), \quad (2.7)$$

$$\bar{g}_+ = 2 \cos \left(\frac{\pi}{2} \sqrt{2} k_x \right), \quad \bar{g}_- = 2i \sin \left(\frac{\pi}{2} \sqrt{2} k_x \right);$$

$$\tilde{E}_{xx} = E_{xx} - E_{xy}, \quad \tilde{E}_{yy} = E_{xx} + E_{xy}, \quad \tilde{E}_{zz} = E_{xx},$$

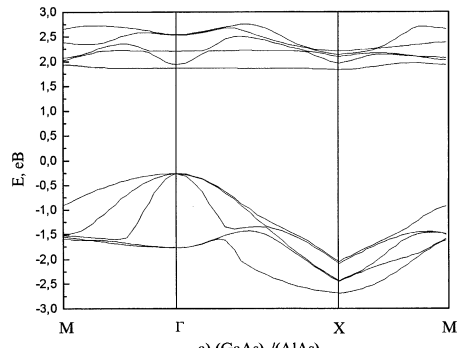
$$\bar{E}_{xx} = E_{xx} + E_{xy}, \quad \bar{E}_{yy} = E_{xx} - E_{xy}, \quad \bar{E}_{zz} = E_{xx}, \quad (2.8)$$

$E_{ab}, E_{ss}, E_{s^*xca}, E_{sxac}, E_{s^*xac}, E_{xx}, E_{xy}$ — емпіричні параметри, значення яких для GaAs і AlAs, наведено в таблиці. Значення параметрів E_{ab} в (2.4) для аніонних площин, які є межами поділу між GaAs і AlAs вибрали як середнє арифметичне відповідних параметрів обох об'ємних матеріалів. Задавши фіксоване значення n , енергетичний спектр надгратки визначаємо числовою діагоналізацією матриці (2.3) в заданій точці \mathbf{k} зони Бріллюена. У цьому випадку враховано взаємний зсув зон GaAs та AlAs, який з даних експерименту [13] становить 34% від ширини забороненої зони GaAs. На рис. 4 показано енергетичні спектри надграток $(\text{GaAs})_n/(\text{AlAs})_n$ уздовж високо-симетричних напрямків зони Бріллюена.

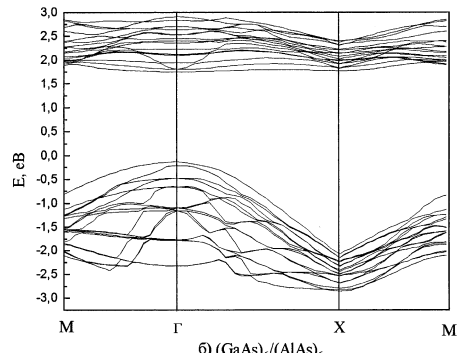
Оскільки під час розрахунків оптичних характеристик основну роль відіграють найнижчі підзони зони провідності та верхні валентні підзони, то основну увагу звертали на положення саме цих зон залежно від кількості шарів у надгратці. На рис. 5 показано ці залежності в точках Γ , X_z та $X_{x,y} = (X_x, X_y)$ зони Бріллюена.

З аналізу величин власних векторів секулярних матриць у заданих точках визначено, що рівень $X_{x,y}$ спектра надгратки формується в основному X_x -та X_y -станами об'ємного AlAs. Дві інші підзони (Γ_c і X_z) формуються як станами одного, так і станами іншого напівпровідника. Зокрема, основний внесок у рівень X_z надгратки роблять X_z -стани об'ємного AlAs, тоді як внесок станів Γ об'ємного GaAs є незнач-

ним. Для рівня Γ_c надгратки ситуація інша: основний внесок у нього роблять Γ -стани об'ємного GaAs. Ця закономірність є виявом відомого Γ_c - X_z змішування зон під час утворення надгратки [2]. Взаємне розміщення цих підзон, а відповідно, і характер краю зони провідності надгратки суттєво залежить від товщини шарів. Перехід між надгратками I та II роду, коли Γ_c і X_z міняються місцями, буває при $n \sim 9$ (за деякими літературними даними при $n \sim 12$). Крім того, при $n < 6$ найнижчою є підзона $X_{x,y}$ надгратки. Валентна зона надгратки формується в основному G_v -станами GaAs.



a) $(\text{GaAs})_2/(\text{AlAs})_2$



b) $(\text{GaAs})_6/(\text{AlAs})_6$

Рис. 4. Енергетичний спектр надграток: а — $(\text{GaAs})_2/(\text{AlAs})_2$; б — $(\text{GaAs})_6/(\text{AlAs})_6$.

Криві Γ і $X_{x,y}$ на рис. 6 відповідають поведінці ширини забороненої зони в точках Γ і $X_{x,y}$ надгратки.

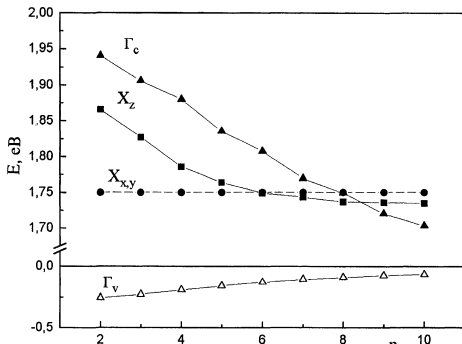


Рис. 5. Найнижчі енергетичні підзони провідності та край валентної зони надграток $(\text{GaAs})_n/(\text{AlAs})_n$.

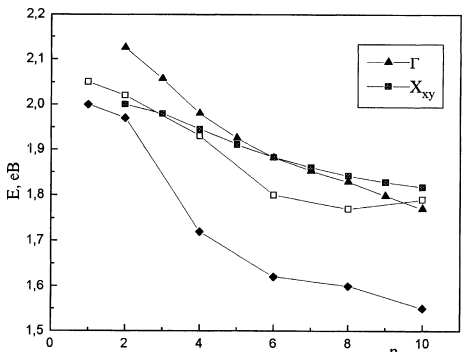


Рис. 6. Ширина забороненої зони надграток $(\text{GaAs})_n/(\text{AlAs})_n$ у точках Γ і X залежно від кількості шарів: \square — експериментальні дані [10]; \blacklozenge — розрахунок методом псевдопотенціалу [3]; \blacktriangle , \blacksquare — наші розрахунки.

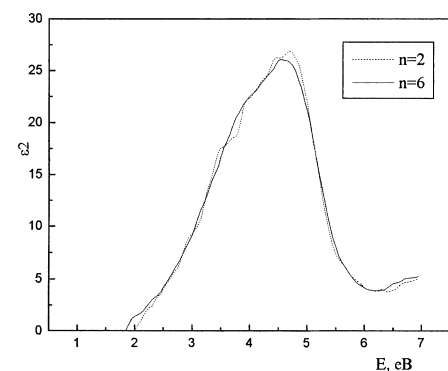


Рис. 7. Діелектрична проникність $\varepsilon_2(\omega)$ надграток $(\text{GaAs})_n/(\text{AlAs})_n$.

На рис. 6 показано також ширину забороненої зони, визначену методом псевдопотенціялу [3], та експериментальні дані [10].

Частотну залежність $\varepsilon_2(\omega)$ для надграток обчилювали за співвідношенням (1.3). Підсумовування за ν , c виконували за валентними мінізонами та за мінізонами провідності, за \mathbf{k} — в межах зони Бріллюена надгратки. Результати розрахунку для надграток з $n = 2$ та $n = 6$ показані на рис. 7.

У результаті розбиття енергетичних зон об'ємних матеріалів під час утворення надграток на залежності $\varepsilon_2(\omega)$ з'являється низка додаткових піків. Особливо це помітно для НГ з $n = 2$. Зокрема, пік в області 4.8 еВ розбивається на два піки, що відповідає розбиттю верхньої валентної зони вздовж напрямку Δ об'ємної зони Бріллюена на мінізони вздовж напрямку $\bar{\Gamma}\bar{X}$ зони Бріллюена надгратки (рис. 4, а). Зі збільшенням кількості шарів кількість мінізон збільшується (рис. 4, б) і на залежності $\varepsilon_2(\omega)$ піки зливаються в суцільну криву з максимумом, енергетичне положення якого близьке до аналогічних максимумів у $\varepsilon_2(\omega)$ GaAs і AlAs.

-
- [1] А. Херман Мориак, *Полупроводниковые сверхрешетки* (Мир, Москва, 1989).
 - [2] Yan-Ten Lu and L. J. Sham, Phys. Rev. B **40**, 5567 (1989).
 - [3] J. H. Yee, G. H. Khanaka, W. T. White, W. J. Orvis, Phys. Status Solidi B **180**, 135 (1993).
 - [4] S. Frogen, D. M. Wood, A. Zunger, Phys. Rev. B **37**, 6893 (1988).
 - [5] C. Tserbak, H. M. Polotoglou, G. Theodorou, Phys. Rev. B **47**, 7104 (1993).
 - [6] D. L. Smith, C. Mailhiot, Phys. Rev. B **33**, 8345 (1986).
 - [7] У.Харрисон, *Електронная структура и свойства твердых тел*, Т.1 (Мир, Москва, 1983).
 - [8] P. Vogl, H. P. Hjalmarson, J. D. Dow, J. Phys. Chem. Solids **44**, 365 (1983).
 - [9] J. R. Chelichovsky, M. L. Cohen, Phys. Rev. B **14**, 556 (1976).
 - [10] A. Inshibashi, Y. Mori, M. Itabashi, N. Watanabe, J. Appl. Phys. **58**, 2691 (1985).
 - [11] В. И. Гавриленко, А. М. Грехов, Д. В. Корбутяк, В. Г. Литовченко, *Оптические свойства полупроводников* (Наукова думка, Київ, 1987).
 - [12] Ф.Бассани, Дж.П.Парровичини, *Электронные состояния и оптические переходы в твердых телах* (Наука, Москва, 1982).
 - [13] Landolt-Bornstein: Numerical Data And Functional Relationships in Science and Technology (New Series)/E. by O. Madelung (Springer-Verlag, Berlin, 1987), Vol.III/22a, pp.63, 82.

С. МЕЛЬНИЧУК, В. СТУДЕНЕЦЬ, І. ЮРІЙЧУК

**ENERGY SPECTRUM AND OPTICAL PROPERTIES OF THE SHORT-PERIOD
GaAs/AlAs SUPERLATTICES**

S. Melnychuk, V. Studenets, I. Yurychuk

Chernivtsi State University, 2 Kotsyubynskii Str., Chernivtsi, UA-274012, Ukraine

The energy spectrum and frequency dependence of the dielectric permittivity $\varepsilon_2(\omega)$ for the GaAs and AlAs semiconductors have been calculated in the framework of the sp^3s^* model. The same model is used for the calculating the of energy spectrum of the GaAs/AlAs superlattices with equal number of GaAs and AlAs layers. The contribution of the original materials to the superlattice spectrum formation and its variation with the number of superlattice layers have been analyzed. The energy band gap of these superlattices was compared with the experimental data and calculations of other authors. The peculiarities of $\varepsilon_2(\omega)$ for the superlattices with a varying number of layers have been also investigated.